

ارزیابی تحولات ریزساختاری فولاد AISI 201L در فرایند ترمومکانیکی پیشرفته

احد رضایی^{۱*}، عباس مجفی‌زاده^۲، احمد کرمانپور^۲ و محمد معلمی^۱

چکیده

در این پژوهش، تحولات ریزساختاری فولاد زنگ‌زن آستنیتی AISI 201L تحت عملیات نورد سرد و آنیل مورد ارزیابی قرار گرفت. در ابتدا، بمنظور اصلاح ساختار ریختگی فولاد 201L، نمونه‌هایی از جنس فولاد مزبور به مدت ۱۵ ساعت در دمای 1200°C همگن‌سازی، سپس تحت عملیات فورج داغ و آنیل انحلالی قرار گرفتند. در مرحله‌ی بعد، عملیات نورد سرد به میزان $10-95$ درصد کاهش ضخامت انجام شد. نمونه‌های نورد شده در محدوده‌ی دمایی $750-900^{\circ}\text{C}$ به مدت $15-1800$ ثانیه آنیل شدند. بررسی‌های ریزساختاری نیز به وسیله‌ی میکروسکوپ نوری، میکروسکوپ الکترونی روبشی، دستگاه فریتوسکوپ و الگوی پراش پرتو ایکس انجام شد. نتایج آزمایش‌ها نشان داد که با افزایش کار سرد میزان مارتنتیت ناشی از کرنش افزایش می‌یابد به گونه‌ای که در کاهش ضخامت 40 درصد به حد اشباع خود، یعنی 100 درصد رسیده و با افزایش بیش‌تر کاهش ضخامت ساختار مارتنتیتی بدست آمده، دچار تغییر شکل می‌شود. از سوی دیگر، آنیل نمونه‌های 95 درصد نورد سرد در دماهای 850 و 900°C به مدت 30 ثانیه نیز منجر به تشکیل دانه‌های زیر 100 نانومتر می‌شود.

واژه‌های کلیدی: فولاد زنگ‌زن 201L، مارتنتیت، نورد سرد، آنیل.

۱- کارشناس ارشد مهندسی مواد، دانشگاه صنعتی اصفهان.

۲- استاد گروه مهندسی مواد دانشگاه صنعتی اصفهان.

۳- دانشیار گروه مهندسی مواد دانشگاه صنعتی اصفهان.

*-نویسنده‌ی مسئول مقاله: a.rezaee@ma.iut.ac.ir

پیشگفتار

فولادهای زنگنزن آستنیتی، به دلیل مقاومت به خوردگی خوب و انعطاف‌پذیری مناسب از جمله مواد مهندسی هستند که مورد توجه بسیار قرار گرفته‌اند، اما خواص مکانیکی پایین، کاربرد آن‌ها را در صنعت محدود کرده است [۱]. از جمله ویژگی‌های این گروه از فولادهای زنگنزن، تبدیل فاز آستنیت به مارتنتزیت در حین عملیات تغییر شکل در زیر دمای M_d می‌باشد. در ادامه فرایند تغییرشکل، مارتنتزیت تشکیل شده در ریزساختار خرد می‌شود و مکان‌های مناسب جوانه‌زنی را برای بازگشت مارتنتزیت به آستنیت در حین عملیات آنل بعدی فراهم می‌کند و در نهایت، منجر به ریزدانه شدن آستنیت و بهبود خواص مکانیکی آن می‌شود. در این فرایند، کسر حجمی مارتنتزیت با افزایش میزان تغییر شکل افزایش یافته و در یک میزان کرنش مشخص (کرنش اشباع) به بیشترین مقدار خود می‌رسد [۲-۵]. ترتیب این تبدیل به این صورت است که ابتدا فاز آستنیت در اثر تغییر شکل به مارتنتزیت اپسیلن (ε) با ساختار هگزاگونال تبدیل می‌شود و سپس با افزایش میزان کرنش این فاز به همراه آستنیت باقیمانده به مارتنتزیت آلفا پرایم (α) با ساختار تتراتagonal تبدیل می‌شود. البته، مارتنتزیت α می‌تواند به گونه‌ای مستقیم از آستنیت نیز شکل بگیرد. در مقادیر بالاتر از ۱۵ درصد کرنش مقدار فاز مارتنتزیت ε ناچیز خواهد بود. نرخ رشد ورقه‌های مارتنتزیت در حدود 1100 m/s تخمین زده شده است و این امر سبب پیچیده شدن مطالعات در مورد تبدیل مارتنتزیتی شده و تئوری‌های موجود را مبهمنگاه داشته است. مارتنتزیت α روی نابجایی‌ها و مارتنتزیت ε روی نقص چیدن جوانه می‌زند به گونه‌ای که نابجایی‌های پیچی نقشی مهم در جوانه‌زنی فاز α بازی می‌کنند. جوانه‌های اولیه α با زمینه‌ی آستنیتی به صورت همدوست تشکیل می‌شوند و زمانی که تیغه‌های مارتنتزیت α رشد می‌کنند، به صورت نیمه همبسته و ناهمبسته با زمینه در می‌آیند [۶-۷].

هدف از این پژوهش بررسی تحولات ریزساختاری فولاد زنگنزن آستنیتی AISI 201L در حین عملیات ترمومکانیکی به عنوان عاملی تعیین‌کننده در بهبود ویژگی‌های مکانیکی آن می‌باشد.

روش پژوهش

شمیش فولاد زنگنزن آستنیتی AISI 201L پس از تهیه‌ی مذاب در کوره‌ی القایی تحت اتمسفر محیط، در یک قالب فلزی ریخته‌گری شد. ترکیب شیمیایی این فولاد در جدول ۱ آورده شده است. بمنظور حذف جدایش‌ها، از بین بردن ساختار ریختگی و کاهش میزان فریت دلتای موجود در ریزساختار شمش تهیه شده در دمای 0°C به مدت ۱۵ ساعت همگنسازی شد. سپس عملیات فورج داغ بمنظور کاهش اندازه‌ی دانه‌های فولاد در محدوده‌ی دمایی $1000-1200^\circ\text{C}$ و به صورت قالب باز انجام شد. جهت انجام آزمایش‌ها نمونه‌هایی با ابعاد $60\times 20\times 8 \text{ mm}^3$ از جنس فولاد یاد شده تهیه و به مدت ۱۵۰ دقیقه در دمای 0°C آنل انحلالی شدند. نمونه‌های آماده شده تا ۹۵ درصد کاهش در سطح مقطع، نورد شده سپس در محدوده‌ی دمایی $750-900^\circ\text{C}$ به مدت ۱۵-۱۸۰۰ ثانیه آنل شدند. بمنظور اج کردن نمونه‌ها از روش الکتروراج با محلول اسید نیتریک 65 V درصد و ولتاژ $0/9$ استفاده شد. ریزساختار نمونه‌ها نیز به وسیله‌ی میکروسکوپ‌های نوری و الکترونی روبشی مورد بررسی قرار گرفت. افزون بر این، از آزمون سختی ویکرز با بار 10 kg جهت سختی سنجی نمونه‌های نورد و آنل شده استفاده شد و ارزیابی تغییرات فازی در حین انجام مراحل بالا تیز به وسیله‌ی دستگاه فریتوسکوپ و پراش پرتو ایکس صورت گرفت.

نتایج و بحث

شکل ۱ ریزساختار نمونه‌ی آنل انحلالی شده را در دمای 1100°C به مدت ۱۵۰ دقیقه نشان می‌دهد. همان گونه که مشاهده می‌شود، ریزساختار این نمونه شامل دانه‌های آستنیت (با اندازه‌ی دانه متوسط $27 \mu\text{m}$) و مقدار اندکی فریت دلتا در مرز دانه‌ها می‌باشد. شکل ۲ ساختار میکروسکوپ نوری فولاد زنگنزن آستنیتی ۲۰۱L را پس از 10°C درصد نورد سرد نشان می‌دهد. همان گونه که در شکل ۲ مشاهده می‌شود، با اعمال 10°C درصد نورد سرد نزدیک به 35°C درصد مارتنتزیت در ریزساختار تشکیل شده است. با افزایش میزان کار سرد مقدار فاز آستنیت کاهش و مقدار مارتنتزیت در ریزساختار

مربوط به نمونه‌ی آنیل انحلالی شده (الگوی A) نشان دهنده‌ی وجود فاز آستنیت و مقدار اندکی مارتزیت با پیک‌های (۱۱۰)، (۲۰۰) و (۲۱۱) می‌باشد. این امر نشان دهنده‌ی این است که دمای شروع استحاله‌ی مارتزیتی (Ms) برای نمونه‌ی آنیل انحلالی بالاتر از دمای محیط است [۹]. همان‌گونه که در الگوی B مشخص است، پس از ۹۵ درصد نورد سرد، تمام ریزساختار به مارتزیت آ از تبدیل می‌شود و پس از آبیل کردن نمونه‌ها، مارتزیت به آستنیت تبدیل می‌شود. زمانی که دمای آنیل از ۷۵۰ °C به ۹۰۰ °C افزایش می‌یابد، شدت پیک‌های آستنیت افزایش و در مقابل شدت پیک‌های مارتزیت کاهش می‌یابد. از سوی دیگر، در این شکل مشاهده می‌شود که مارتزیت در نمونه‌ی نورد شده جهت‌گیری ترجیحی در راستای صفحات {۱۱۰} دارد در حالی که مارتزیت موجود در نمونه‌های آنیل شده دارای جهت‌گیری ترجیحی در راستای صفحات {۲۱۱} می‌باشد. نمونه‌ی آنیل شده در دمای ۹۰۰ °C تقریباً یک ساختار کاملاً آستنیتی را نشان می‌دهد.

شکل ۵-a تغییرات کسر حجمی مارتزیت را در نمونه‌ی ۹۵ درصد نورد سرد به عنوان تابعی از زمان و دمای آنیل نشان می‌دهد. همان‌گونه که انتظار می‌رود، نرخ بازگشت مارتزیت به آستنیت با افزایش دمای آنیل افزایش می‌یابد. با توجه به شکل نرخ بازگشت در زمان‌های اولیه‌ی آنیل به مراتب بالاتر است که این امر به دلیل دانسیته‌ی بسیار بالای عیوب که به عنوان مکان‌های مناسب جوانه‌زنی آستنیت در حین آنیل بشمار می‌رود، در زمان‌های ابتدایی آنیل می‌باشد. در دمای ۷۵۰ °C نرخ بازگشت مارتزیت پایین بوده و حتی پس از گذشت ۱۸۰۰ ثانیه حدوداً ۲۰ درصد درصد مارتزیت در ریزساختار باقی مانده است. در حالی که در دماهای ۸۰۰، ۸۵۰ و ۹۰۰ °C تمام مارتزیت به ترتیب پس از ۱۸۰، ۸۰ و ۶۰ ثانیه به آستنیت تبدیل می‌شود. شکل ۵-b تغییرات سختی نمونه‌های آنیل شده را به عنوان تابعی از دما و زمان آنیل نشان می‌دهد. همان‌گونه که در شکل مشخص است، با افزایش دما و زمان آنیل سختی کاهش می‌یابد. این کاهش سختی مردود به کاهش دانسیته‌ی نابهنجایی‌ها، کاهش میزان مارتزیت و

افزایش می‌یابد (شکل ۲-b و ۲-c). جوانه‌های مارتزیت آ ناشی از کرنش در محلهای مانند باندهای برشی، میکرو باندها، دوقلویی‌ها، نقص در چیده شدن صفحات کریستالی و مارتزیت ۴ که به وسیله‌ی تغییر شکل پلاستیکی شدید ایجاد شده‌اند، قرار می‌گیرند. مطالعات صورت گرفته در این زمینه نشان می‌دهند که این جوانه‌ها بیشتر در محل برخورد باندهای برشی تشکیل می‌شوند [۸]. با افزایش کار سرد، میزان عیوب موجود در ریزساختار افزایش و از این‌رو مکان‌های مناسب برای جوانه‌زنی مارتزیت آ نیز بیشتر می‌شوند. لذا، جوانه‌های مارتزیت آ شروع به رشد می‌کنند تا به حالت اشتعاب بررسند. با ادامه‌ی فرایند تغییر شکل، مارتزیت تشکیل شده در ریزساختار خرد شده و عیوب درون ریزساختار به شدت افزایش می‌یابند.

شکل ۳-a تغییرات میزان مارتزیت ناشی از کرنش بر حسب درصد کاهش ضخامت را در فولاد AISI 201L نشان می‌دهد. با توجه به شکل، در مراحل اولیه‌ی کار سرد و تا حدود ۲۵ درصد، کسر حجمی مارتزیت ناشی از کرنش با نرخ بالا و تقریباً به صورت خطی افزایش می‌یابد به گونه‌ای که در ادامه‌ی کار سرد (تا حدود ۴۰ درصد) میزان مارتزیت ناشی از کرنش با سرعت کمتری افزایش یافته و با ادامه‌ی فرایند تغییر شکل تا ۹۵ درصد، مقدار مارتزیت تغییر چندانی نداشته و فقط دچار تغییر شکل می‌شود. نمودار سختی بر حسب درصد کاهش ضخامت نیز در شکل ۳-b نشان داده شده است. همان‌گونه که مشاهده می‌شود، تا حدود ۳۰ درصد کار سرد سختی با سرعت قابل توجهی افزایش می‌یابد (از ۲۳۰ ویکرز در نمونه‌ی خام به حدود ۴۰۰ ویکرز در نمونه‌ی ۳۰ درصد نورد شده می‌رسد). این افزایش مقدار سختی مردود به افزایش دانسیته‌ی عیوب شبکه‌ی کریستالی و هم‌چنین، بر اساس شکل ۲، مردود به افزایش میزان فاز مارتزیت ناشی از کرنش در حین افزایش کاهش ضخامت نیز می‌باشد. در ادامه‌ی کار سرد سختی با شیب ملایمی افزایش یافته تا جایی که در ۹۵ درصد کار سرد سختی به بیشترین مقدار خود، یعنی ۵۴۷ ویکرز می‌رسد.

شکل ۴ الگوی XRD را برای نمونه‌های گوناگون نشان می‌دهد. همان‌گونه که مشاهده می‌شود، الگوی XRD

منابع

- 1- W. F. Smith., "Structure and Properties of Engineering Materials", 2nd ed., 1987, McGraw-Hill.
- 2- K. Tomimura., S. Takaki., S. Tanimoto., and Y. Tokunaga., "Optimal chemical composition in Fe–Cr–Ni alloys for ultra grain refining by reversion from deformation induced martensite", *ISIJ Int*, 1991, A31, pp. 721–727.
- 3- Y. Ma., J.E. Jin., and Y.K. Lee., "A repetitive thermo-mechanical process to produce nanocrystalline in a metastable austenitic steel", *Scripta Mater*, 2005, A52, pp. 1311–1315.
- 4- D.L. Johannsen., A. Kyrolainen., and P. J. Ferreira., "Influence of annealing treatment on the formation of nano/submicron grain size AISI 301 austenitic stainless steels", *Metall. Mater. Trans. A*, 2006, A37, pp. 2325–2328.
- 5- R. Song., D. Ponge., and D. Raabe., "Overview of Processing, Microstructure and Mechanical Properties of Ultrafine Grained bcc Steels", *Mater. Sci. Eng. A*, 2006, A441, pp. 1–17.
- 6- K. Spencer., J.D. Embury., K.T. Conlon., M. Veron., and Y. Brechet., "Strengthening via the formation of strain-induced martensite in stainless steels", *Mater. Sci. Eng. A*, 2004, A387–389, pp. 873–881.
- 7- J. Speer., D. Matlock., and D. C. Murdock., "Deformation Induced phase transformation and strain hardening in type 304 austenitic stainless steel", *Metall. Mater. Trans. A*, 2006, A37, pp. 1875–1886.
- 8- P. Hedström., "Deformation and martensitic phase transformation in stainless steels", Lulea University of Technology, Doctoral Thesis, 2007.
- 9- A. F. Padilha., R. L. Plaut., and P. R. Rios., "Annealing of cold-worked austenitic stainless steels", *ISIJ Int*, 2003, A43, 135–143.

رشد دانه‌های مارتزیت بازگشت یافته در حین آنیل می‌باشد.

تصاویر میکروسکوپ الکترونی روبشی (SEM) از ریزساختار نمونه‌های آنیل شده در دماهای 85°C و 900°C پس از گذشت ۳۰ ثانیه در شکل ۶ آورده شده است. همان گونه که در شکل مشخص است، شاهد یک ساختار بسیار ریزدانه با دانه‌های هم محور می‌باشیم. میانگین اندازه‌ی دانه‌های بدست آمده در این شرایط برای هر دو نمونه زیر 100 nm می‌باشد. علت ایجاد چنین ساختاری با اندازه‌ی دانه‌های نانو، دانسیته‌ی بسیار بالای عیوب در ریزساختار پس از نورد سرد و اعمال کرنش‌های سنگین است. زمانی که این ساختار را در دماهای نسبتاً پایین و زمان‌های بسیار کوتاه آنیل می‌کنیم، به دلیل وجود مکان‌های بی‌شمار برای جوانهزنی آستنیت، دانه‌های بسیار ریز تشکیل می‌شوند. با افزایش زمان آنیل، دانه‌ها رشد کرده و میانگین اندازه‌ی آنها افزایش می‌یابد.

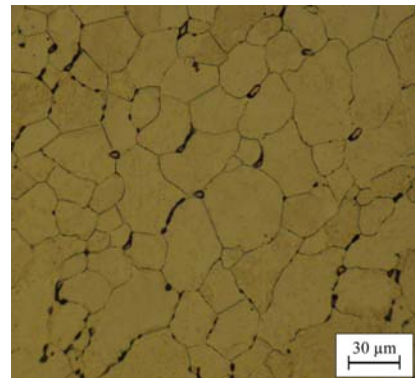
نتیجه‌گیری

- ۱- فولاد زنگنزن آستنیتی 201L پایداری پایین و نرخ کارسختی بسیار بالایی را در مقابل مارتزیت ناشی از کرنش نشان می‌دهد، به گونه‌ای که که با اعمال 40°C درصد نورد سرد، تمام آستنیت به مارتزیت تبدیل می‌شود.
- ۲- با افزایش دمای آنیل نرخ بازگشت مارتزیت به آستنیت به شدت افزایش می‌یابد به گونه‌ای که در نمونه‌های آنیل شده در دماهای 85°C و 900°C تمام مارتزیت به ترتیب پس از گذشت 80 و 60 ثانیه به آستنیت تبدیل می‌شود.
- ۳- آنیل نمونه‌های 95°C درصد نورد سرد در دماهای نسبتاً پایین و زمان‌های بسیار کوتاه منجر به تشکیل دانه‌هایی در ابعاد کمتر از 100 nm می‌شود. لذا، با کنترل شرایط دما و زمان آنیل می‌توان فولادی با دانه‌های بسیار ریز و خواص مکانیکی مناسب تولید کرد.

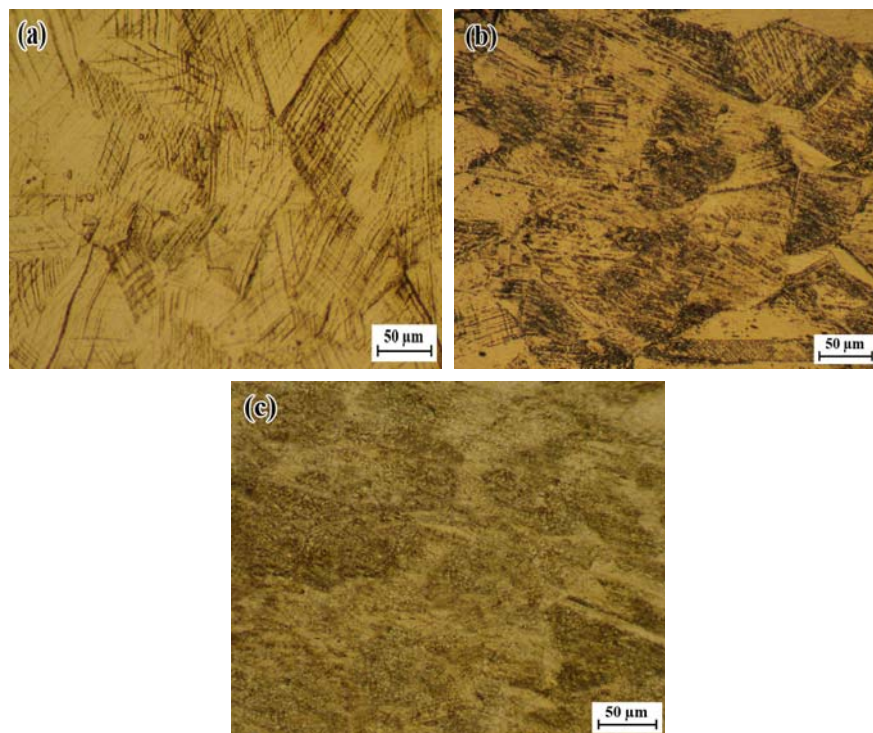
پیوست‌ها

جدول ۱- ترکیب شیمیایی فولاد زنگ نزن آستانیتی 201L

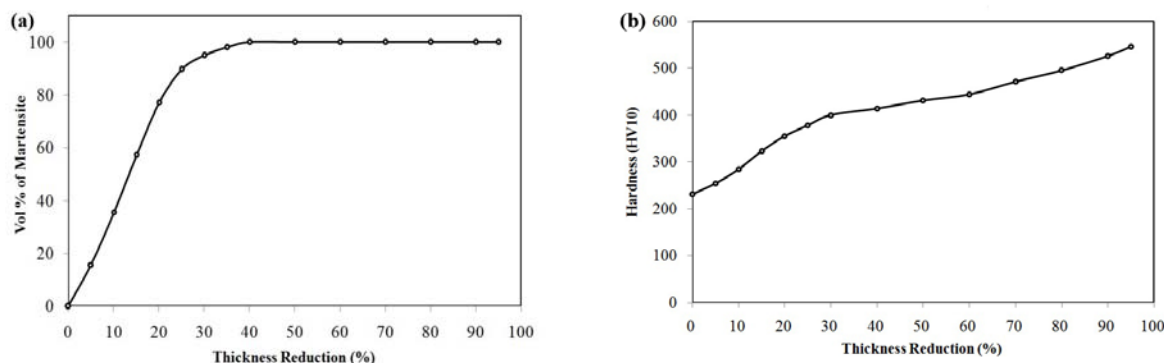
عنصر	C	Cr	Mn	Ni	Si	Mo	P	S	N	Fe
درصد وزنی	۰/۰۲۷	۱۶/۲	۵/۹۱	۳/۸۸	۰/۵۱	۰/۰۸	۰/۰۴	۰/۰۲	۰/۰۴	Bal.



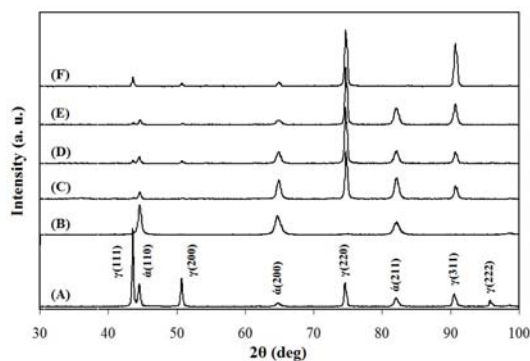
شکل ۱- تصویر میکروسکوپ نوری از ریزساختار نمونه‌ی آنیل انحلالی شده در دمای ۱۱۰۰ °C به مدت ۱۵۰ دقیقه.



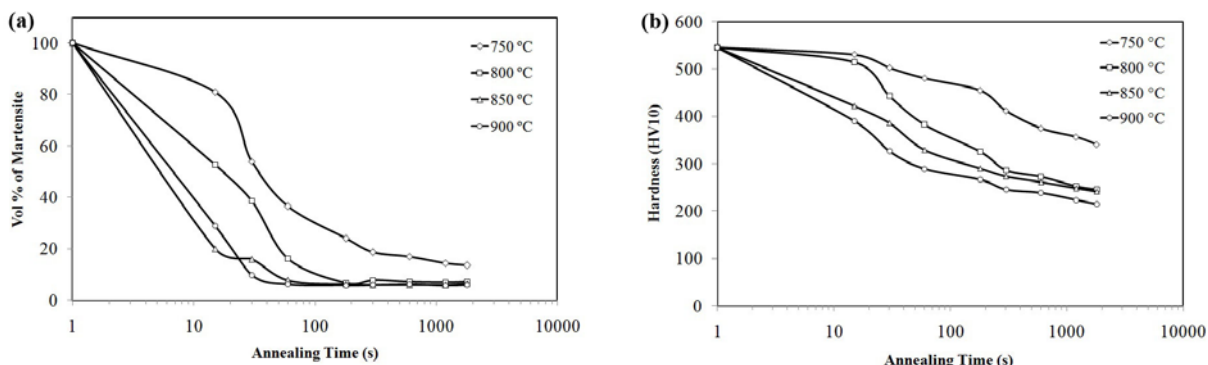
شکل ۲- ساختار میکروسکوپ نوری فولاد 201L پس از: (a) ۱۰٪ نورد سرد، (b) ۳۰٪ نورد سرد و ۵۰٪ نورد سرد. (c)



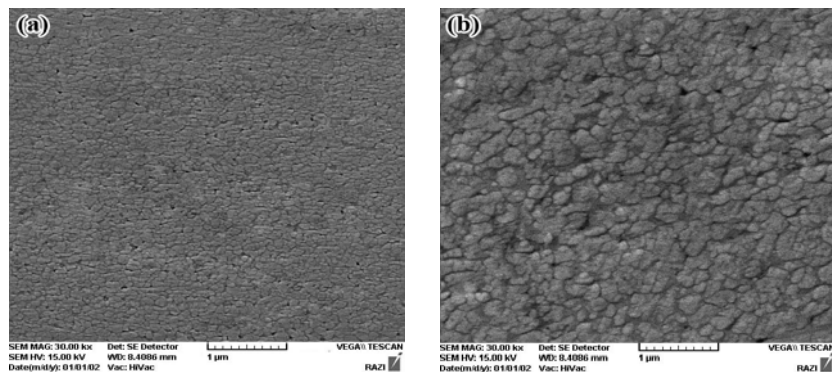
شکل ۳- نمودار (a) درصد تشکیل مارتینزیت ناشی از کرنش بر حسب درصد کاهش ضخامت (b) سختی بر حسب درصد کاهش ضخامت.



شکل ۴- الگوی XRD برای نمونه‌های: (A) آبیل انحلالی، (B) درصد نورد سرد و آبیل در دمای 95°C (C) (C) 90°C (D) 85°C (E) 80°C (F) 75°C به مدت 30 ثانیه.



شکل ۵- نمودار: (a) درصد مارتینزیت موجود در ریزساختار و (b) سختی بر حسب دما و زمان آبیل.



شکل ۶- تصاویر SEM از ریزساختار نمونه‌های آبیل شده در دمای: (a) 850°C و (b) 900°C پس از ۳۰ ثانیه.

